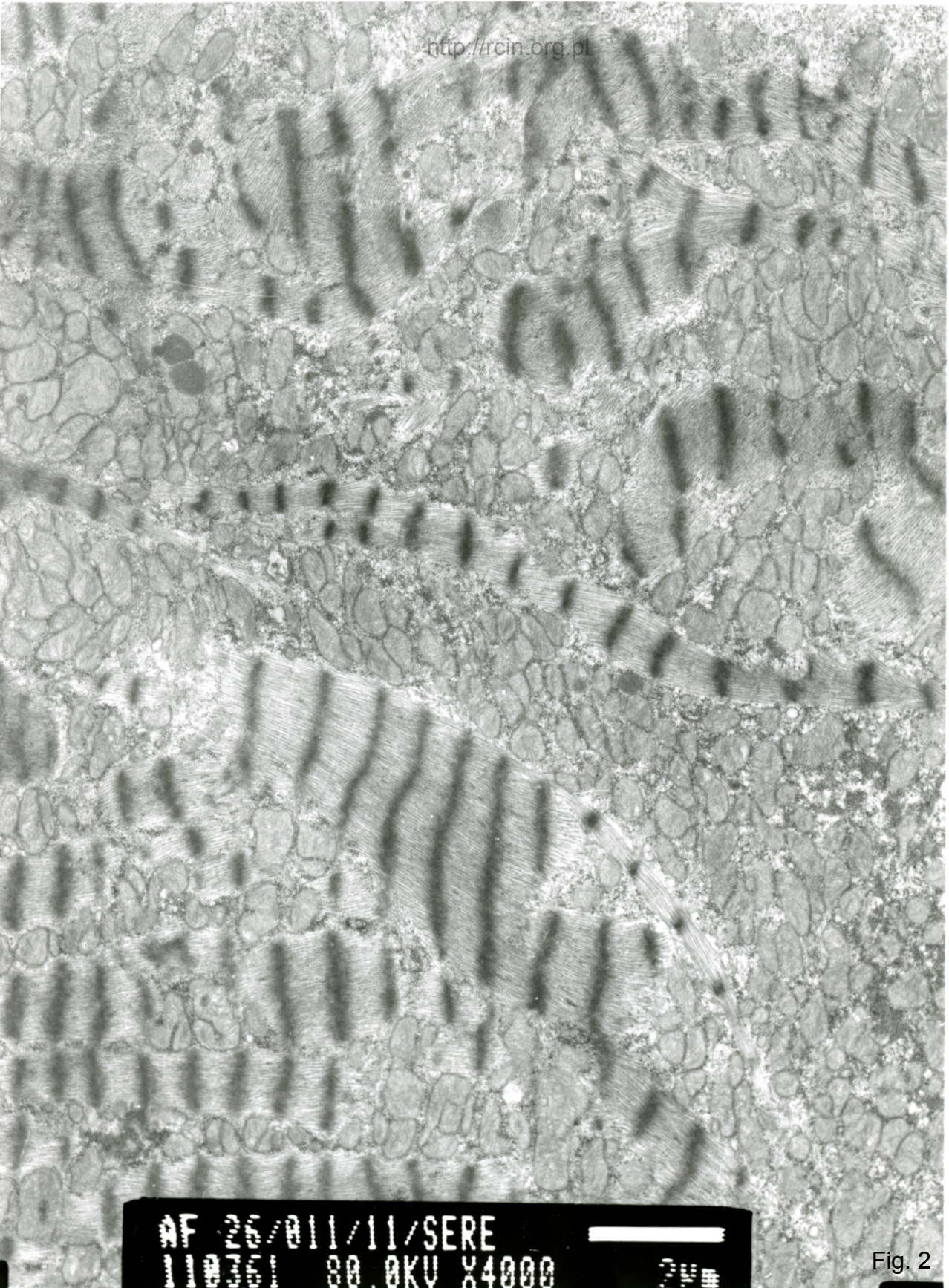


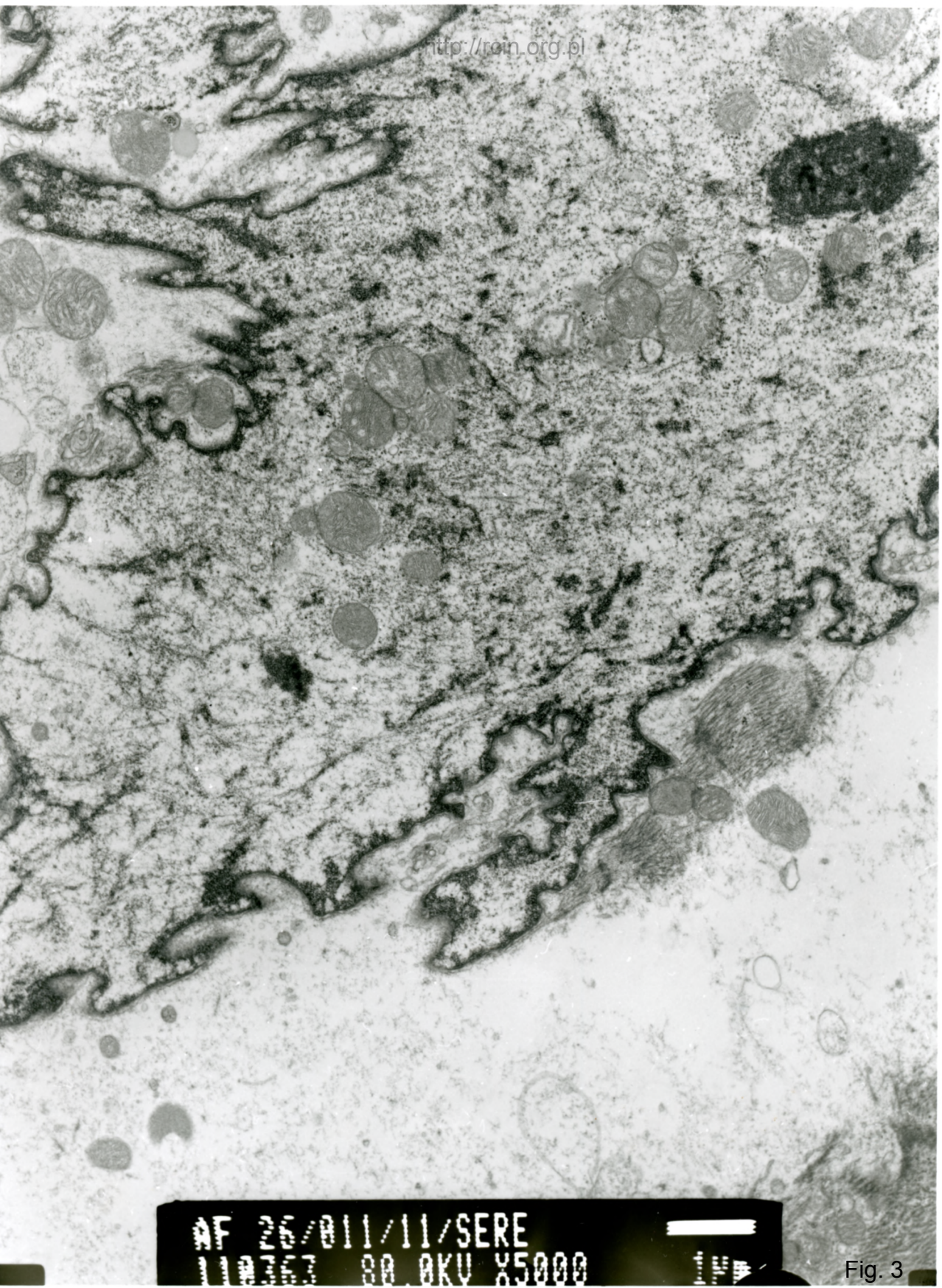
AF 26/011/11/SERE  
110362 80.0KV X3000 2µm

Fig. 1



AF 26/011/11/SERE  
110361 80.0KV X4000

Fig. 2



AF 26/011/11/SERE  
110367 80.0KV X5000 1μm

Fig. 3

26/11

1. 41

#### Niewydolność mięśnia sercowego

Analiza ultrastrukturalna wykazała zatarty wzór sarkomerów. Przebieg miofibrili w większości badanego materiału zachowany, obserwowano również prawidłowe jądra kardiomiocytów (Fig.1,2). W biopsacie obecne były jednak także jądra wykazujące cechy laminopatii, które charakteryzowały się pofałdowaną otoczką jądrową o licznych wgłobieniach. W niektórych jądrach otoczka była przerwana, a wewnątrz jądra obserwowano obecność organelli komórkowych (Fig.3)

#### Heart failure

Ultrastructural analysis revealed blurred sarcomere pattern. Myofibril arrangement in the major part of analyzed material was preserved and normal cardiomyocyte nuclei were observed (Figs.1,2). However, also nuclei showing features of laminopathy, characterized by corrugated nuclear envelope with numerous indentations were present. In some nuclei nuclear membrane was broken, and cell organelles were seen inside the nucleus (Fig.3).